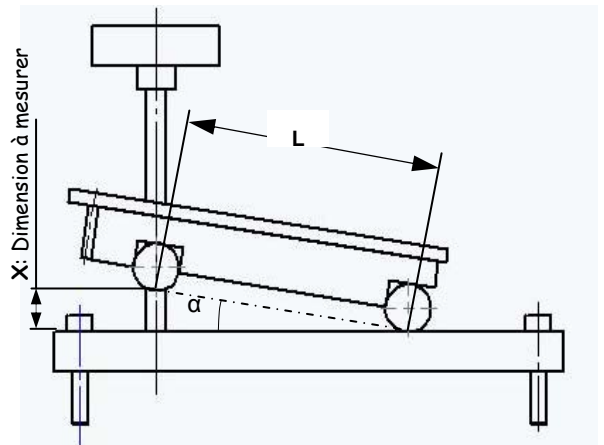


Mesure du coefficient d'adhérence:



Valeurs mesurées

Acier - bois		Acier - bronze	
Acier - acier		Acier - élastomère (gomme)	

Evaluation du système d'alimentation du Minidosa en bouchons.

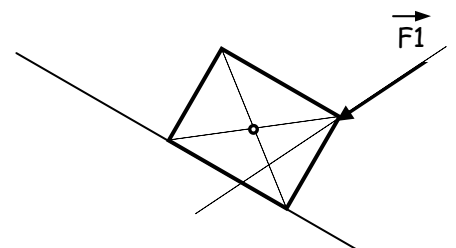
- ➔ coefficient d'adhérence entre bouchon et rampe (plastique - acier):
- ➔ pourquoi la pente de la rampe d'alimentation en bouchon est correctement inclinée.
- ➔ Rapport entre pente réelle et pente minimum

Cas 1, un seul bouchon présent sur la rampe.

- ➔ Effort à fournir par la lame ressort pour un seul bouchon sur la rampe.

Dynamique, échelle :

On isole le 1^{er} bouchon

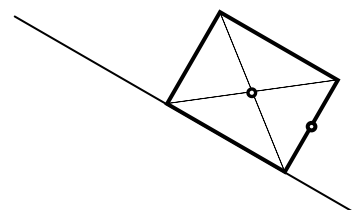


Cas 2, 20 bouchons présents sur la rampe.

- ➔ Résultante d'action de contact entre 2 bouchons

Dynamique, échelle :

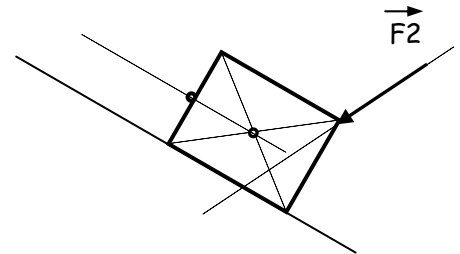
On isole le dernier bouchon



- ➔ Résultante d'action de contact entre la lame ressort et le premier bouchon lorsque 20 bouchons sont placés sur la rampe.

Dynamique, échelle :

On isole le 1^{er} bouchon



Etude d'une nouvelle solution d'alimentation en flacons

- ➔ Mesure du coefficient d'adhérence entre verre et acier: $f_{\text{verre/acier}} =$ _____
- ➔ Pente mini pour obtenir le glissement d'un objet en verre: _____

- ➔ Etude de l'équilibre d'un flacon

- ➔ Conclusion